

**The Scientist' club 12: Investigaciones nanotecnológicas sobre vacunas Covid-19. White paper on vaccines' compositions<sup>1</sup>.**

Inglés (versión original)	Español
<b>Introduction</b>	<b>Introducción</b>
<p>The new Covid-Sars2 pandemic induced industries to develop new drugs that they called vaccines. The mechanism of action of these new drugs as declared by the pharmaceutical industries coupled with what is reported in the products' data sheet was clear enough to made scientists understand that those products are not vaccines but nanotechnological drugs working as a genetic therapy. The name "vaccine" is likely to be an escamotage used for bureaucratic reasons in order to get an urgent approval, so dribbling all the normal rules necessary for new drugs, especially for those involving novel nanotechnological mechanisms, never experienced before. All these "vaccines" are patented and their actual content is kept secret even to the buyers, who, of course, use taxpayers' money. So, consumers (taxpayers) have no information about what they receive in their bodies. They are kept in the dark as far as the nanotechnological processes involved are concerned, on the side effects on the body but mostly on the possible nano-bio-interactions that can happen. The present study through direct analyses on a few "vaccines" by means of nanotechnological instrumentation gives information about their actual content.</p>	<p>La nueva pandemia de Covid-Sars2 indujo a las industrias a desarrollar nuevos medicamentos que llamaron vacunas. El mecanismo de acción de estos nuevos medicamentos según lo declarado por las industrias farmacéuticas, junto con lo que se informa en la hoja de datos de los productos, fue lo suficientemente claro como para que los científicos entendieran que esos productos no son vacunas sino medicamentos nanotecnológicos que funcionan como una terapia genética. Es probable que el nombre "vacuna" sea un escamotage utilizado por razones burocráticas para obtener una aprobación urgente, por lo que se regatean todas las reglas normales necesarias para nuevos medicamentos, especialmente para aquellos que involucran nuevos mecanismos nanotecnológicos, nunca antes experimentados. Todas estas "vacunas" están patentadas y su contenido real se mantiene en secreto incluso para los compradores, quienes, por supuesto, utilizan el dinero de los contribuyentes. Entonces, los consumidores (contribuyentes) no tienen información sobre lo que reciben en sus cuerpos. Se mantienen en la oscuridad en lo que respecta a los procesos nanotecnológicos involucrados, sobre los efectos secundarios en el cuerpo pero sobre todo sobre las posibles nano-bio-interacciones que pueden ocurrir. El presente estudio a través del análisis directo de unas "vacunas" mediante instrumentación nanotecnológica da información sobre su contenido real.</p>
<b>Materials and methods</b>	<b>Materiales y métodos</b>
<p>Four "vaccines" were analyzed developed for Corona Virus disease (Comirnaty di Pfizer-BioNtech, Vaxzevria by Astrazeneca, Janssen by Johnson &amp; Johnson), Moderna) using different instrumentation and protocols of preparation according to new nanotechnological approaches. Optical Microscope, Dark-Field Microscope, UV absorbance and</p>	<p>Se analizaron cuatro "vacunas" desarrolladas para la enfermedad del Virus Corona (Comirnaty di Pfizer-BioNtech, Vaxzevria de Astrazeneca, Janssen de Johnson &amp; Johnson), Moderna) utilizando diferentes instrumentación y protocolos de preparación según los nuevos enfoques nanotecnológicos.</p>

<sup>1</sup> <https://drive.google.com/file/d/1RBvtCLfBY4mQAULmjo3GPOTy-vZNIDQH/view?usp=sharing>

fluorescence spectroscope, Scanning Electron Microscopes, Transmission Electron Microscope, Energy Dispersive Spectroscopy, X-ray Diffractometer, Nuclear Magnetic Resonance instruments were used to verify the “vaccines” morphologies and contents. For the high-technology measurements and the care of the investigation, all the controls were activated and reference measurements adopted in order to obtain validated results. Because of the brevity of the text, some measures are not reported here. The analyses verified the morphology of the content of the samples and their chemical composition. The following images show in an objective way what the instrumentation detects.

Microscopio óptico, microscopio de campo oscuro, espectroscopio de absorbancia y fluorescencia UV, microscopios electrónicos de barrido, microscopio electrónico de transmisión, espectroscopio de dispersión de energía, difractómetro de rayos X, instrumentos de resonancia magnética nuclear se utilizaron para verificar la morfología y el contenido de las "vacunas". Para las medidas de alta tecnología y el cuidado de la investigación, se activaron todos los controles y se adoptaron medidas de referencia para obtener resultados validados. Debido a la brevedad del texto, algunas medidas no se informan aquí. Los análisis verificaron la morfología del contenido de las muestras y su composición química. Las siguientes imágenes muestran de forma objetiva lo que detecta la instrumentación.

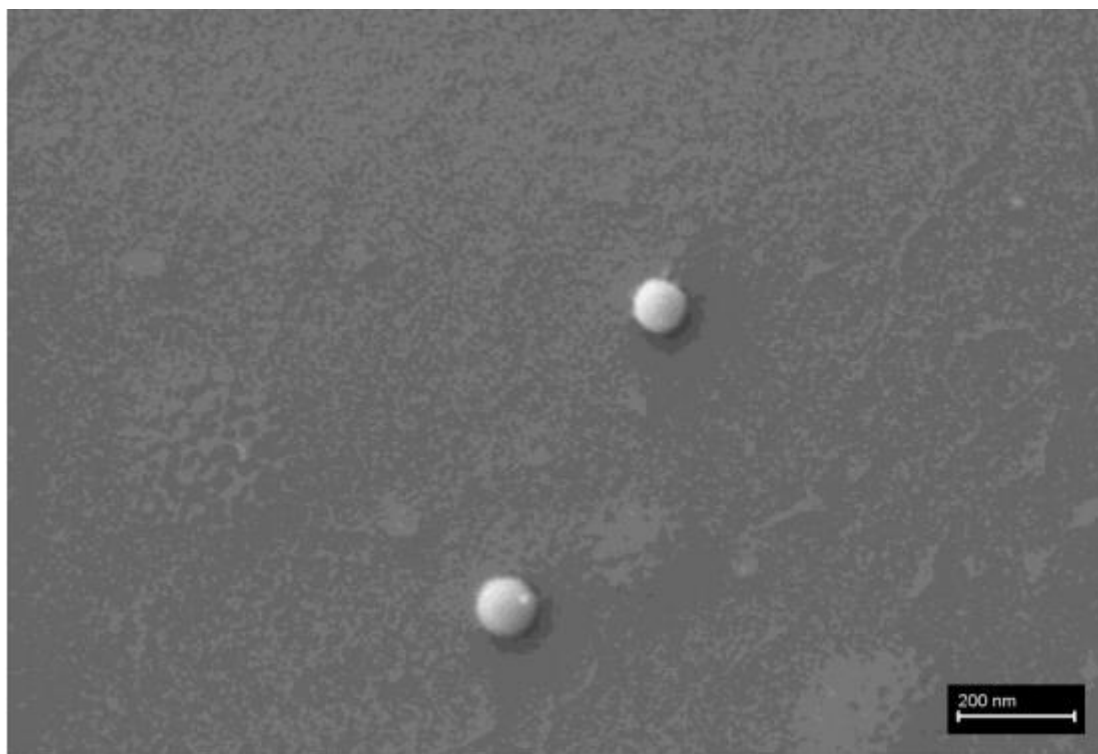


Fig.1 shows the liposomes that Pfizer uses for its product to vehiculate RNA molecules inside the cells. The images were obtained by a SEM-Cryo preparation.

La figura 1 muestra los liposomas que utiliza Pfizer en su producto para transportar moléculas de ARN dentro de las células. Las imágenes se obtuvieron mediante una preparación SEM-Cryo.

Refrigerated samples were processed under sterile conditions, using laminar flow chamber and sterilized labware. Steps for analyses were:

Las muestras refrigeradas se procesaron en condiciones estériles, utilizando cámara de flujo laminar y material de laboratorio esterilizado. Los pasos para los análisis fueron:

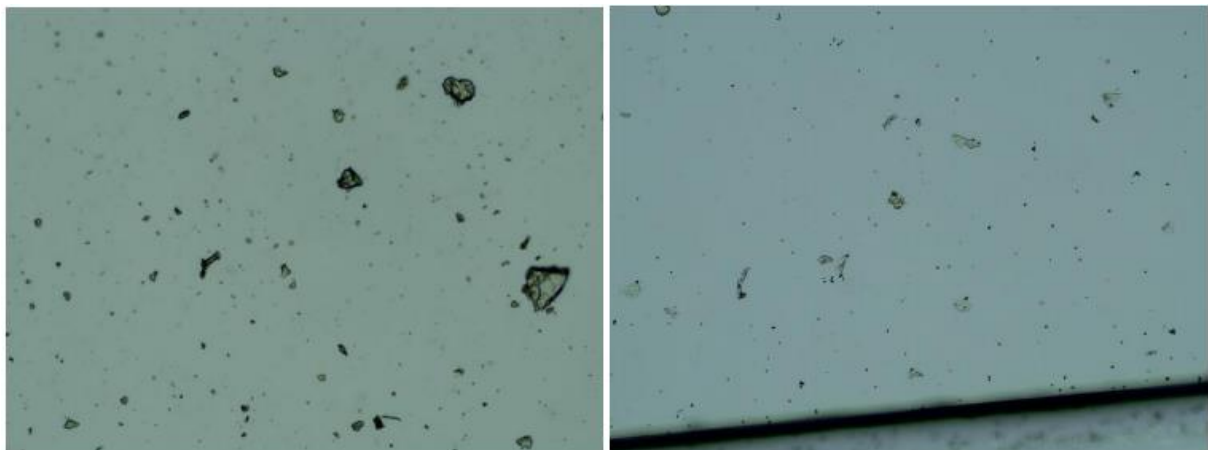
<ol style="list-style-type: none"> <li>1. Dilution in 0.9% sterile physiological saline (0.45 ml + 1.2 ml).</li> <li>2. Polarity fractionation: 1.2 ml hexane + 120 ul of RD1 sample.</li> <li>3. Extraction of hydrophilic aqueous phase.</li> <li>4. UV absorbance and fluorescence spectroscopy scanning.</li> <li>5. Extraction and quantification of RNA in the sample.</li> <li>6. Electron and optical microscopy of aqueous phase The observations under a dark-field microscope of the product by Pfizer drops revealed some entities that can be graphene strips.</li> </ol>	<ol style="list-style-type: none"> <li>1. Dilución en solución salina fisiológica estéril al 0,9% (0,45 ml + 1,2 ml).</li> <li>2. Fraccionamiento de polaridad: 1,2 ml de hexano + 120 ul de muestra RD1.</li> <li>3. Extracción de fase acuosa hidrófila.</li> <li>4. Escaneo de absorbancia UV y espectroscopia de fluorescencia.</li> <li>5. Extracción y cuantificación de ARN en la muestra.</li> <li>6. Microscopía electrónica y óptica de fase acuosa Las observaciones al microscopio de campo oscuro del producto mediante gotas de Pfizer revelaron algunas entidades que pueden ser tiras de grafeno.</li> </ol>
<p><b>Optical Microscopy</b></p>	<p><b>Microscopía Óptica</b></p>
<p>Images of the aqueous fraction of were subsequently obtained by optical to visually assess the possible presence of graphene. The observations under optical microscope of revealed abundance of transparent 2D laminar objects that show great similarity with images from literature (Xu et al, 2019), and with images obtained from rGO standard (SIGMA)(Figures 2a,b). Images of big transparent sheets of variable size and shapes were obtained, showing corrugated and flat, irregular. Smaller sheets of polygonal shapes, also similar to flakes described in literature (Xu et al, 2019) can be revealed with dark field microscopy (Fig 2c). All these laminar objects were widespread in the aqueous fraction of the sample and no component described by the registered patent can be associated with these sheets.</p>	<p>Posteriormente se obtuvieron imágenes de la fracción acuosa mediante óptica para valorar visualmente la posible presencia de grafeno. Las observaciones bajo microscopio óptico revelaron abundancia de objetos laminares 2D transparentes que muestran gran similitud con imágenes de la literatura (Xu et al, 2019), y con imágenes obtenidas del estándar rGO (SIGMA) (Figuras 2a, b). Se obtuvieron imágenes de grandes láminas transparentes de tamaño y formas variables, mostrando onduladas y planas, irregulares. Las láminas más pequeñas de formas poligonales, también similares a las escamas descritas en la literatura (Xu et al, 2019) se pueden revelar con microscopía de campo oscuro (Fig 2c). Todos estos objetos laminares estaban muy extendidos en la fracción acuosa de la muestra y ningún componente descrito por la patente registrada puede asociarse a estas láminas.</p>
	

Fig 2a. Aqueous fraction image from Pfizer vaccine sample (left) and from reduced graphene oxide (rGO) standard (right) (Sigma-777684). Optical microscopy, 100X

Figura 2a. Imagen de fracción acuosa de la muestra de vacuna Pfizer (izquierda) y del estándar de óxido de grafeno reducido (rGO) (derecha) (Sigma-777684). Microscopía óptica, 100X

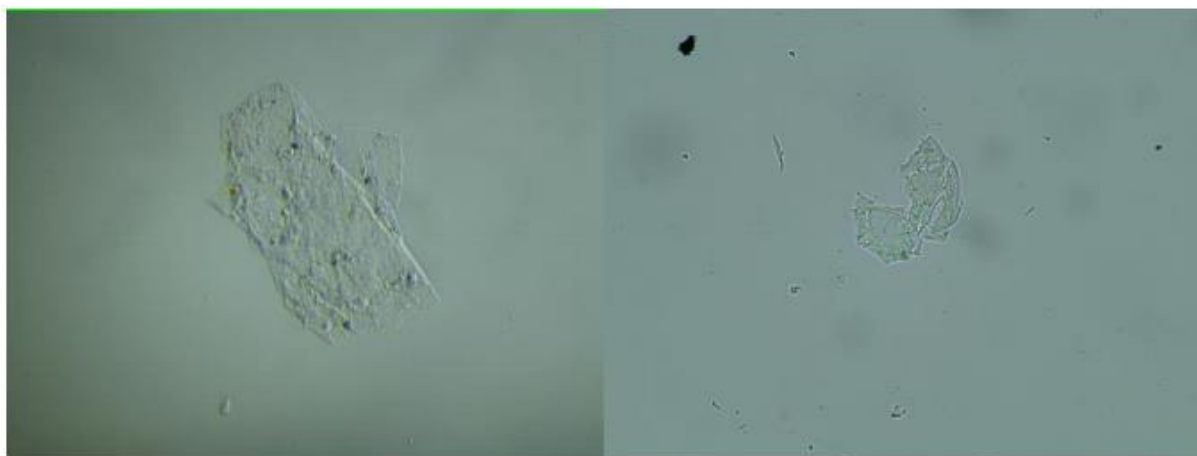
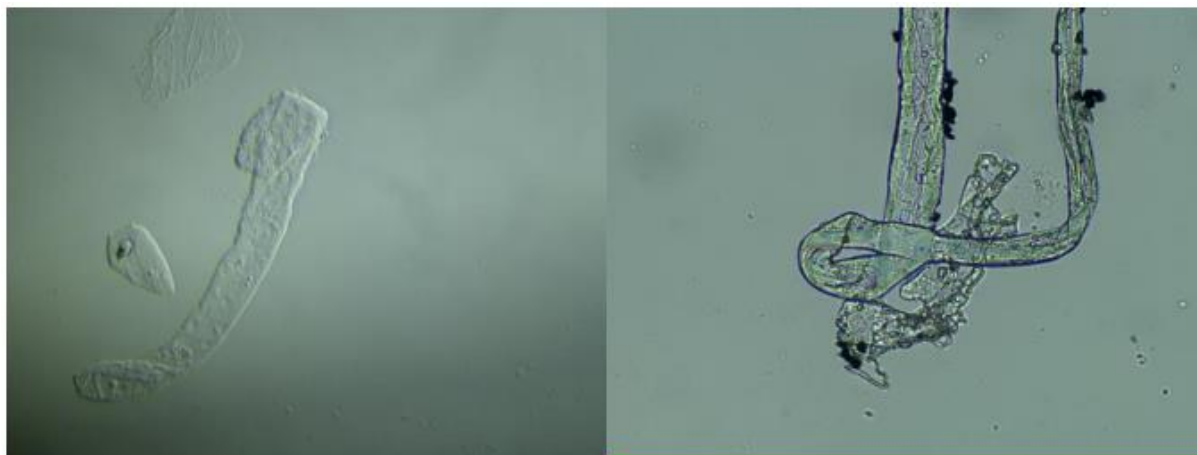


Figure 2b. Aqueous fraction images from Pfizer vaccine sample (left) and sonicated reduced graphene oxide (rGO) standard (right) (Sigma-777684). Optical microscopy, 600X

Figura 2b. Imágenes de fracción acuosa de la muestra de vacuna Pfizer (izquierda) y estándar de óxido de grafeno reducido (rGO) sonificado (derecha) (Sigma-777684). Microscopía óptica, 600X

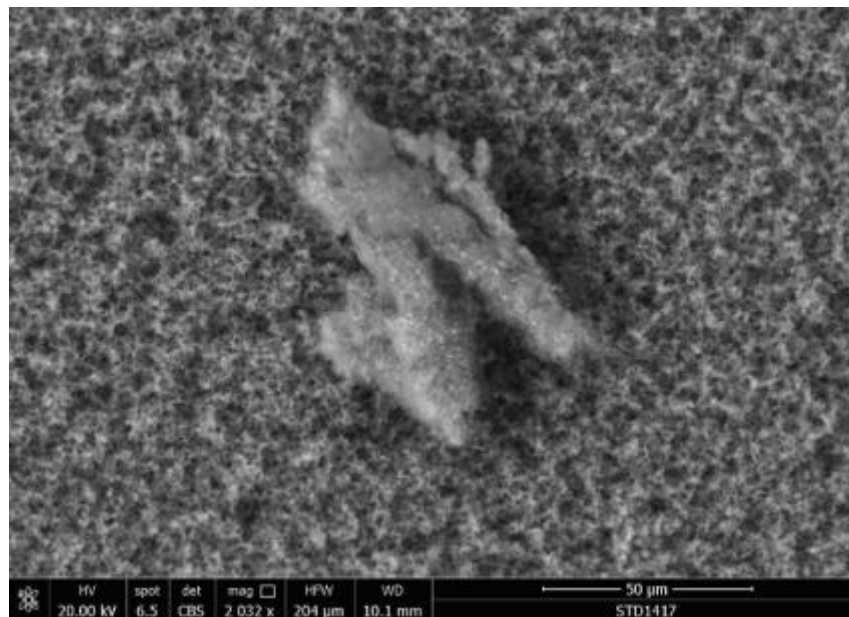


Figure 2c. Aqueous fraction images from Pfizer "vaccine sample. Dark field microscopy, 600X

Figura 2c. Imágenes de fracción acuosa de la muestra de vacuna de Pfizer. Microscopía de campo oscuro, 600X

The presence of graphene in Pfizer "vaccine" is confirmed by the SEM and TEM observations.

La presencia de grafeno en la "vacuna" de Pfizer es confirmada por las observaciones de SEM y TEM.



The Fig. 3 shows a cluster of graphene nanoparticles in a Pfizer vaccine. They appear to be aggregated. The EDS spectrum reports that presence of Carbon, Oxygen and Sodium-Chloride since the product is diluted in saline solution.

La Fig. 3 muestra un grupo de nanopartículas de grafeno en una vacuna Pfizer. Parecen estar agregados. El espectro EDS informa que la presencia de carbono, oxígeno y cloruro de sodio ya que el producto se diluye en solución salina.

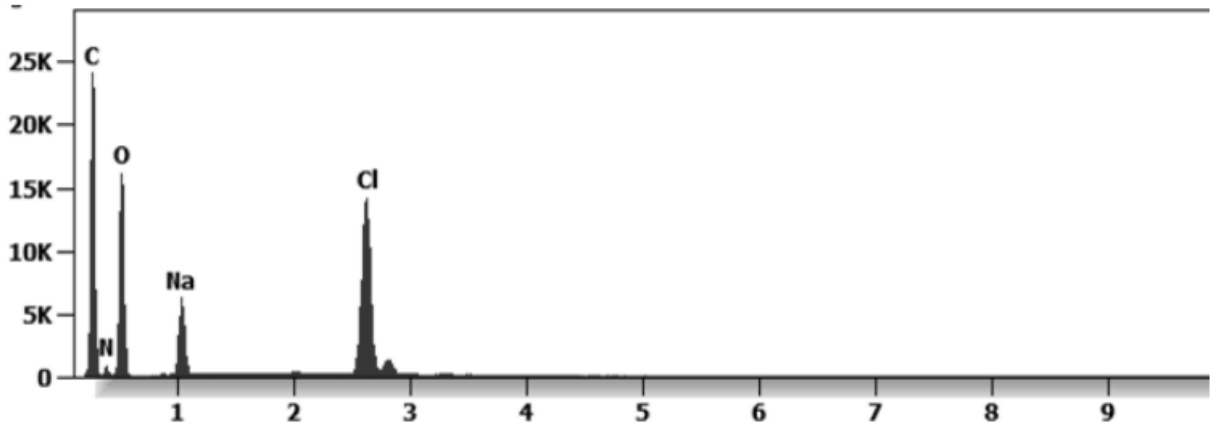


Fig.3 b EDS spectrum of a Pfizer “vaccine” under an ESEM microscope coupled with an EDS x-ray microprobe (X axis =KeV, Y axis = Counts).

Fig. 3 b Espectro EDS de una “vacuna” de Pfizer bajo un microscopio ESEM acoplado con una microsonda de rayos X EDS (eje X = KeV, eje Y = recuentos).

**Electronic Transmission Microscopy**

**Microscopía de Transmisión Electrónica**

In fig 2d we show TEM images of the aqueous fraction from sample, showing high similarity with TEM images of graphene oxide from the literature (Choucair et al, 2009). An intricate matrix or mesh of folded translucent flexible sheets can be observed, with a mixture of darker multilayer agglomerations and lighter colored unfolded monolayers. Darker linear areas appear due to local overlap of sheets and local arrangement of individual sheets in parallel to the electron beam. After the mesh, a high density of unidentified rounded and elliptical clear shapes appears, possibly corresponding to holes generated by mechanical forcing of the mesh during treatment. We show here 3 images with progressive magnification:

En la figura 2d mostramos imágenes TEM de la fracción acuosa de la muestra, mostrando una alta similitud con imágenes TEM de óxido de grafeno de la literatura (Choucair et al, 2009). Se puede observar una intrincada matriz o malla de láminas flexibles translúcidas plegadas, con una mezcla de aglomeraciones multicapa más oscuras y monocapas desplegadas de colores más claros. Aparecen áreas lineales más oscuras debido a la superposición local de láminas y la disposición local de láminas individuales en paralelo al haz de electrones. Después de la malla, aparece una alta densidad de formas claras redondeadas y elípticas no identificadas, posiblemente correspondientes a los agujeros generados por el forzamiento mecánico de la malla durante el tratamiento. Mostramos aquí 3 imágenes con aumento progresivo:

Fig.4a, b shows a TEM microscope observation where particles of graphene in a Pfizer” vaccine” are present. The X-ray diffractometry reveals their nature of crystalline Carbon-based nanoparticles.

La figura 4a, b muestra una observación de microscopio TEM donde están presentes partículas de grafeno en una “vacuna” de Pfizer. La difracción de rayos X revela su naturaleza de nanopartículas cristalinas basadas en carbono.

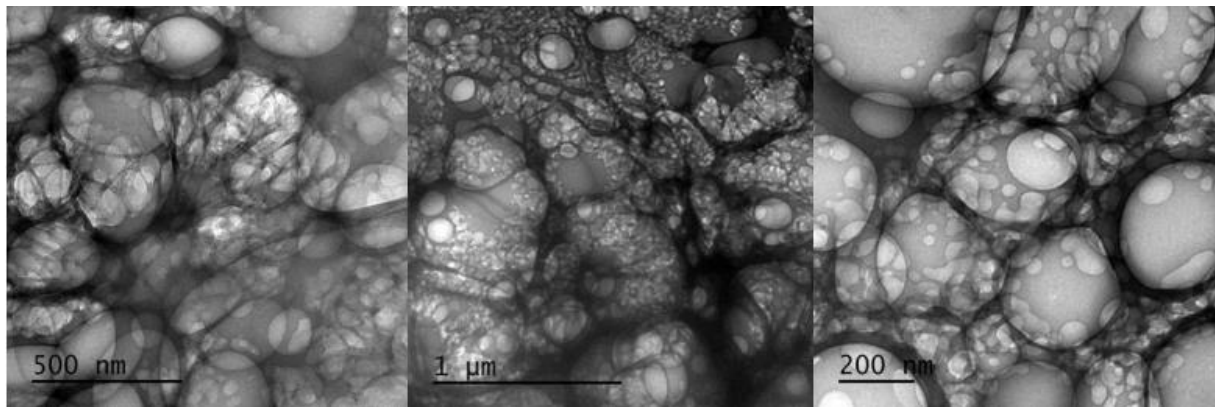


Fig. 4. Aqueous fraction from Comirnaty™ sample. Electronic microscope (TEM), JEM-2100Plus, at 200 kV.

Fig. 4. Fracción acuosa de la muestra de Comirnaty™. Microscopio electrónico (TEM), JEM-2100Plus, a 200 kV.

For a definitive identification of graphene by TEM, it is necessary to complement the observation with the structural characterization by obtaining a characteristic electron diffraction standard sample (as the figure b shown below). The standard sample corresponding to graphite or graphene has a hexagonal symmetry, and generally has several concentric hexagons.

Para una identificación definitiva del grafeno por TEM, es necesario complementar la observación con la caracterización estructural obteniendo una muestra estándar de difracción de electrones característica (como la figura b que se muestra a continuación). La muestra estándar correspondiente al grafito o grafeno tiene una simetría hexagonal y generalmente tiene varios hexágonos concéntricos.

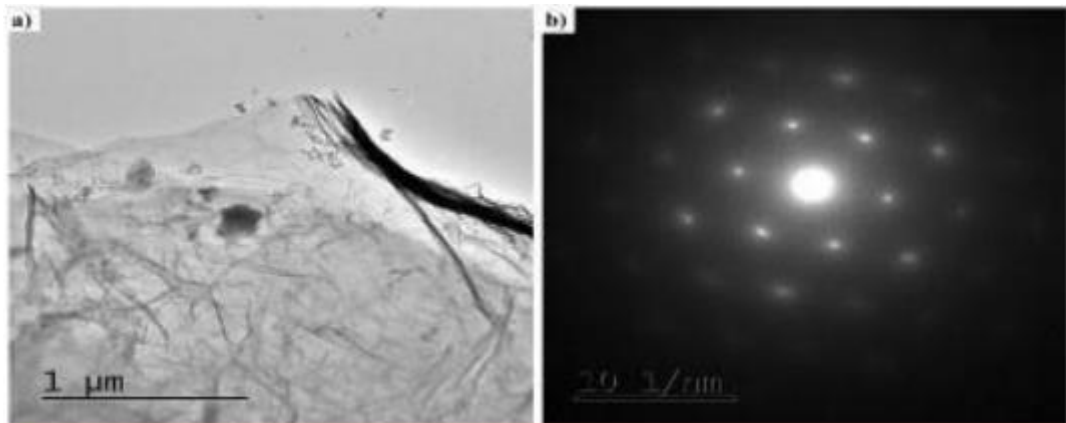


Fig. 4b X ray diffraction pattern of the graphene particles.

Fig. 4b Patrón de difracción de rayos X de las partículas de grafeno.

Quantification of RNA in the sample was carried out with conventional protocols (Fisher). According to NanoDrop™ 2000 spectrophotometer calibration check specific software (ThermoFisher), the UV absorption spectrum of total aqueous fraction was correlated to 747 ng/ul of unknown absorbing substances. However, after RNA extraction with commercial kit (ThermoFisher), quantification with RNA specific Qbit fluorescence probe (ThermoFisher) showed that only 6t ug/ul could be related to the

La cuantificación de ARN en la muestra se realizó con protocolos convencionales (Fisher). Según el software específico de verificación de calibración del espectrofotómetro NanoDrop™ 2000 (ThermoFisher), el espectro de absorción UV de la fracción acuosa total se correlacionó con 747 ng / ul de sustancias absorbentes desconocidas. Sin embargo, después de la extracción de ARN con un kit comercial

presence of RNA. The spectrum was compatible with the peak of rGO at 270nm. According to microscopic images presented here, most of this absorbance might be due to graphene-like sheets, abundant in suspension in the sample. This thesis was further supported by high fluorescence from the sample with maximum at 340 nm, in accordance with peak values for GO. It must be reminded that RNA does not show spontaneous fluorescence under UV exposure.

(Thermofisher), la cuantificación con la sonda de fluorescencia Qbit específica de ARN (Thermofisher) mostró que solo 6t ug / ul podrían estar relacionados con la presencia de ARN. El espectro era compatible con el pico de rGO a 270 nm. Según las imágenes microscópicas presentadas aquí, la mayor parte de esta absorbancia podría deberse a láminas similares al grafeno, abundantes en suspensión en la muestra. Esta tesis fue apoyada además por una alta fluorescencia de la muestra con un máximo a 340 nm, de acuerdo con los valores máximos de GO. Debe recordarse que el ARN no muestra fluorescencia espontánea bajo exposición a los rayos UV.

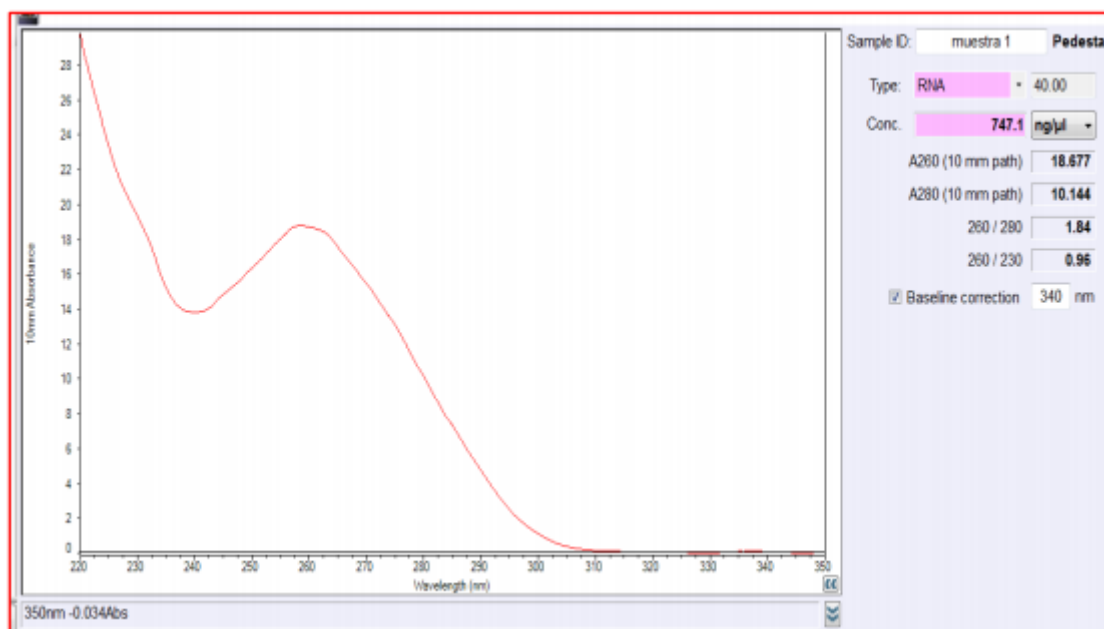


Fig. 5. UV spectrum of aqueous fraction of Pfizer vaccine sample.

Fig. 5. Espectro UV de la fracción acuosa de la muestra de vacuna de Pfizer.

References for the preparation 1,2,3

Referencias para la preparación 1,2,3

**UV fluorescence of aqueous fraction**

**Fluorescencia ultravioleta de la fracción acuosa**

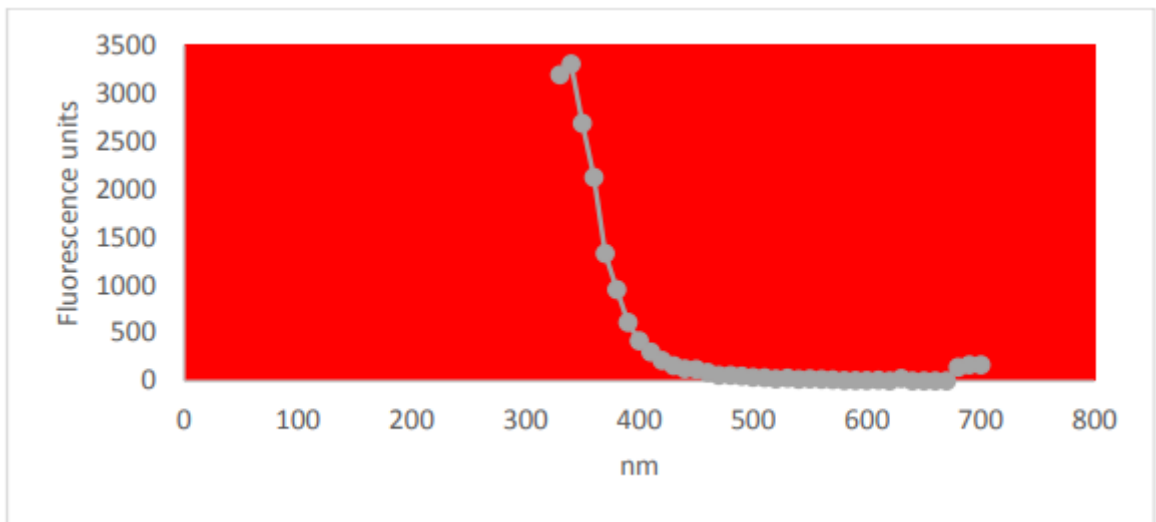
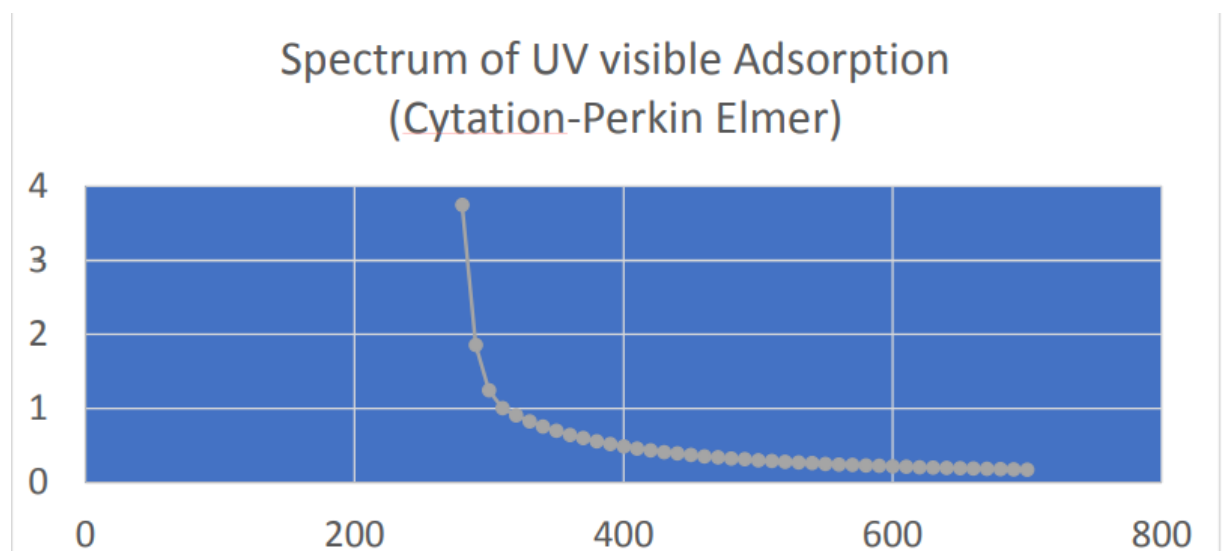


Figure 6. UV fluorescence spectra of aqueous fraction of Comirnaty™ vial. Excitation wavelength: 300 nm.

Figura 6. Espectros de fluorescencia UV de la fracción acuosa del vial de Comirnaty™. Longitud de onda de excitación: 300 nm.

UV absorption and fluorescence spectra were obtained with Cytation 5 Cell Imaging Multi-Mode Reader Spectrophotometer (Biotek). UV absorbance spectrum confirmed a maximum peak at 270 nm, compatible with presence of rGO. UV fluorescence maximum at 340 nm also suggests presence of significant amounts of rGO in the sample (Bano et al, 2019).

Los espectros de absorción y fluorescencia de UV se obtuvieron con el espectrofotómetro lector multimodo de imágenes de células Cytation 5 (Biotek). El espectro de absorbancia UV confirmó un pico máximo a 270 nm, compatible con la presencia de rGO. El máximo de fluorescencia UV a 340 nm también sugiere la presencia de cantidades significativas de rGO en la muestra (Bano et al, 2019).



**The spectrum is compatible with the peak of reduced Graphene oxide at 270 nm.**

**El espectro es compatible con el pico de óxido de grafeno reducido a 270 nm.**

Fig.7 The spectroscopy UV analysis showed an adsorption that can be due to the presence of

Fig.7 El análisis de espectroscopía UV mostró una adsorción que puede deberse a la presencia de grafeno, que se confirma

graphene, that it is confirmed by observation under ultraviolet visible microscope.

mediante la observación al microscopio ultravioleta visible.

The following images show different particles identified in Pfizer, Moderna, Astrazeneca, Janssen “vaccines” analyzed under an Environmental Scanning Electron Microscope coupled with an x-ray microprobe of an Energy Dispersive System that reveals the chemical nature of the debris observed.

Las siguientes imágenes muestran diferentes partículas identificadas en las “vacunas” de Pfizer, Moderna, Astrazeneca, Janssen analizadas bajo un Microscopio Electrónico de Barrido Ambiental acoplado a una microsonda de rayos X de un Sistema Dispersivo de Energía que revela la naturaleza química de los detritos observados.

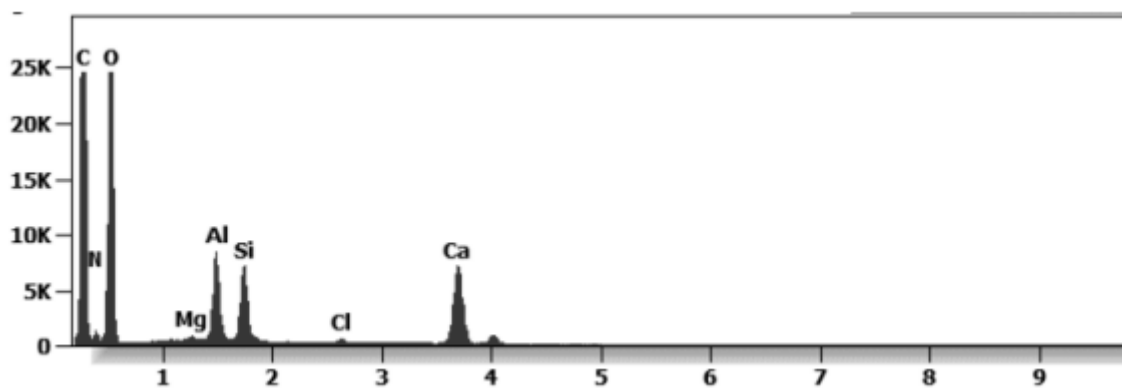
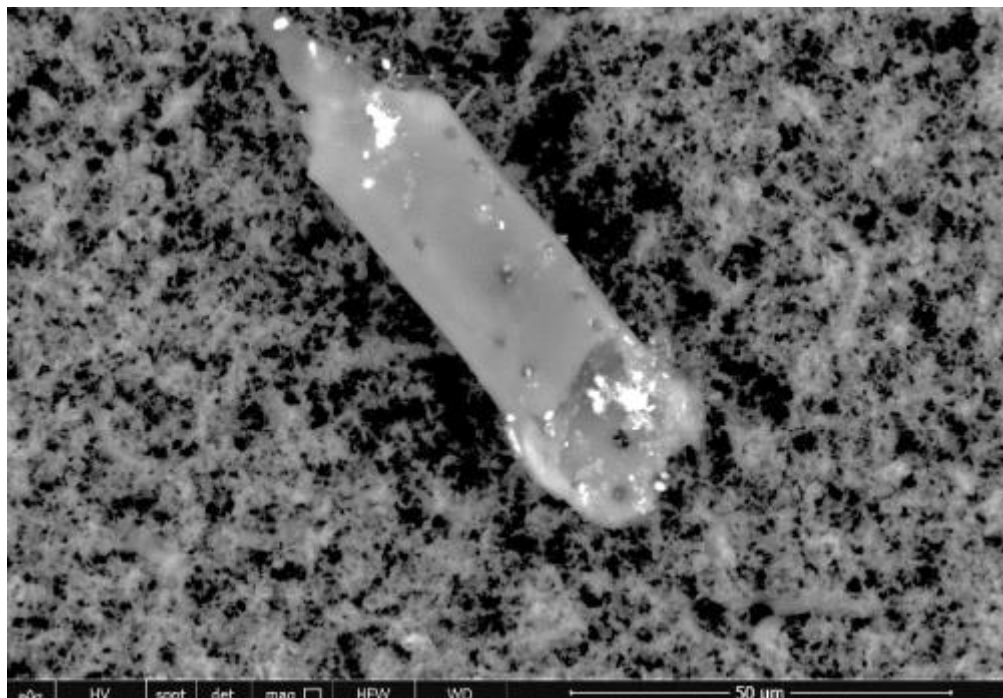


Fig.8 a, b show a strange foreign body, surely engineered with strange holes on the surface. The white debris are composed of Carbon, Oxygen, Aluminium, Silicon, Calcium, Magnesium, Chlorine and Nitrogen.

Las figuras 8 a, b muestran un cuerpo extraño, seguramente diseñado con orificios extraños en la superficie. Los desechos blancos están compuestos de carbono, oxígeno, aluminio, silicio, calcio, magnesio, cloro y nitrógeno.

The 50-micron long body is a mysterious presence in a vaccine. It could be a

El cuerpo de 50 micrones de largo es una presencia misteriosa en una vacuna. Podría ser un

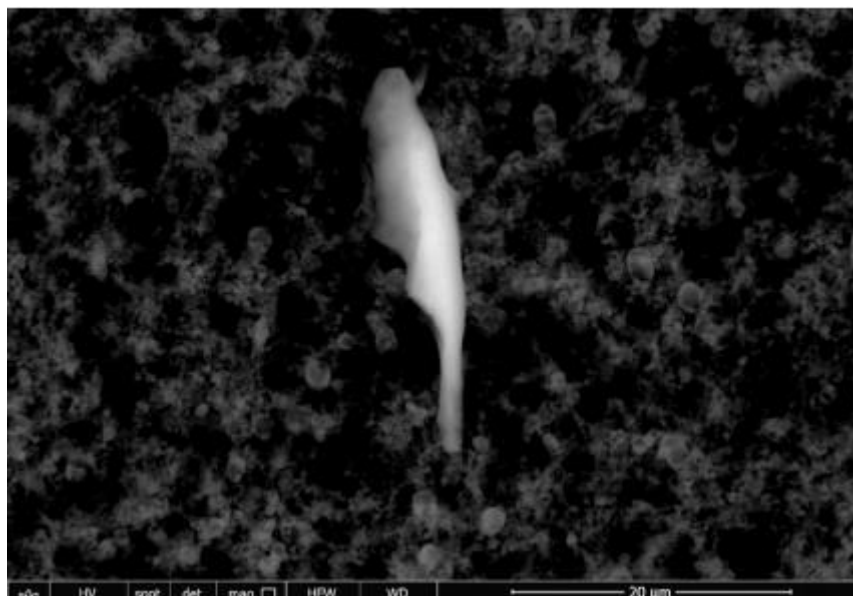


Fig.7 a,b

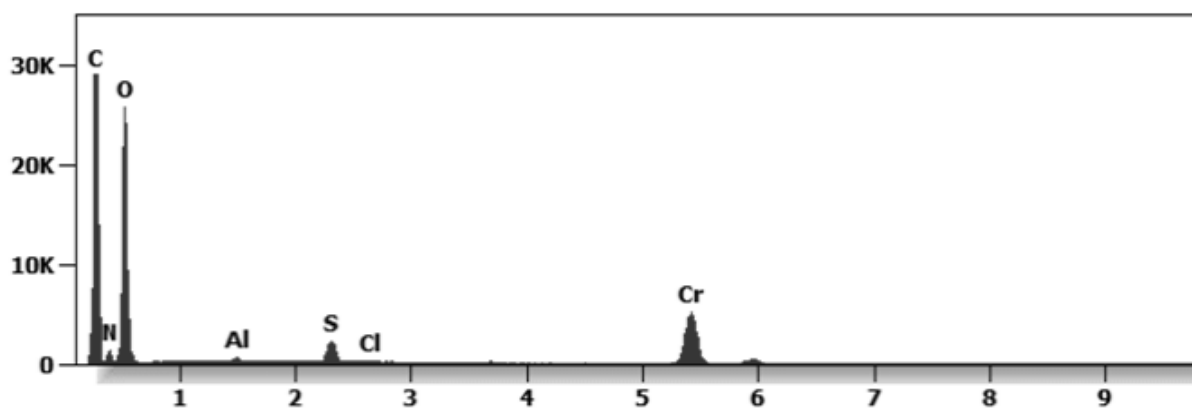


Fig. 9 shows a sharp debris of 20micron of length identified in a Pfizer "vaccine". It is composed of Carbon, Oxygen Chromium, Sulphur, Aluminium, Chloride, Nitrogen.

La figura 9 muestra un residuo afilado de 20 micras de longitud identificado en una "vacuna" de Pfizer. Está compuesto de carbono, oxígeno, cromo, azufre, aluminio, cloruro, nitrógeno.



Fig.8 a, b

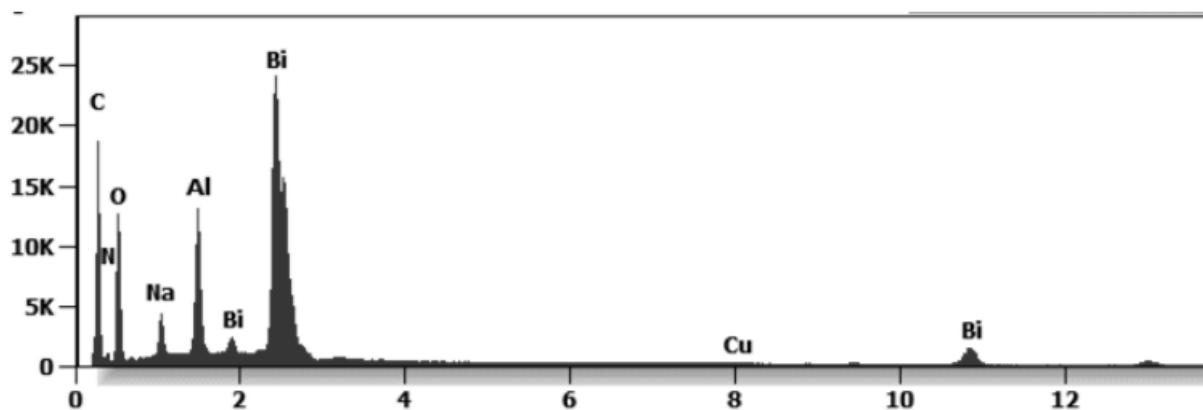


Fig. 8 shows debris identified in a Pfizer “vaccine”. The white 2-micron-long particle is composed of Bismuth, Carbon, Oxygen, Aluminium, Sodium, Copper, Nitrogen.

La figura 8 muestra restos identificados en una "vacuna" de Pfizer. La partícula blanca de 2 micrones de largo está compuesta de bismuto, carbono, oxígeno, aluminio, sodio, cobre, nitrógeno.

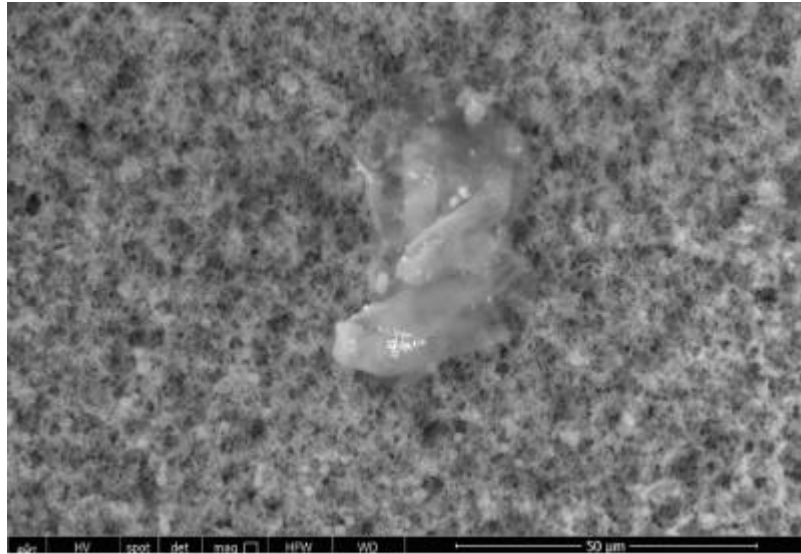


Fig.9 a,b

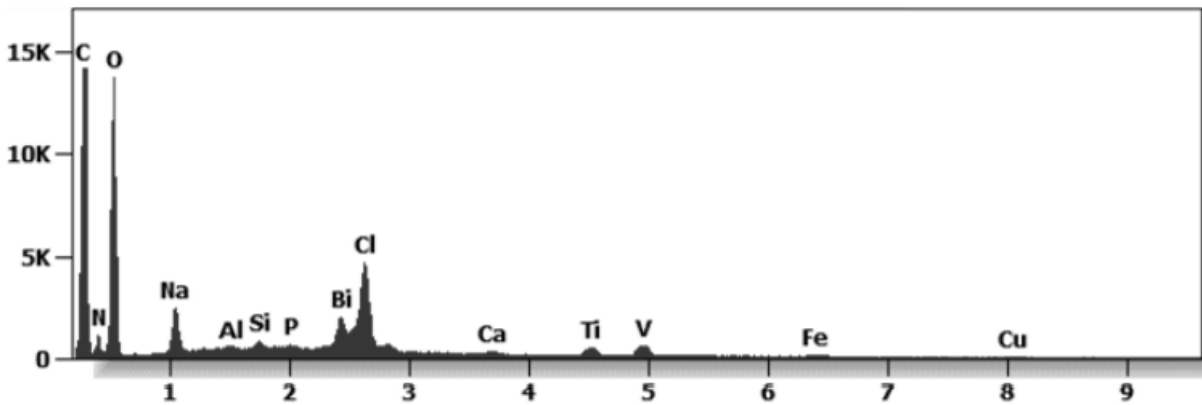


Fig. 9 shows an organic (Carbon-Oxygen-Nitrogen) aggregate with embedded nanoparticles of Bismuth-Titanium-Vanadium -Iron-Copper Silicon-Aluminium embedded in Pfizer “vaccine”.

La figura 9 muestra un agregado orgánico (carbono-oxígeno-nitrógeno) con nanopartículas incrustadas de bismuto-titanio-vanadio-hierro-cobre silicio-aluminio incrustadas en la “vacuna” de Pfizer.

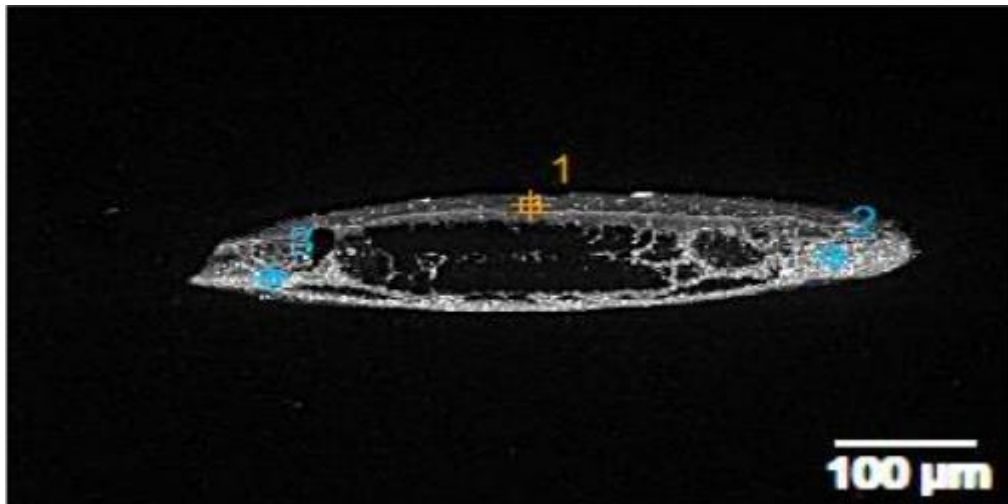


Fig.10 a,b

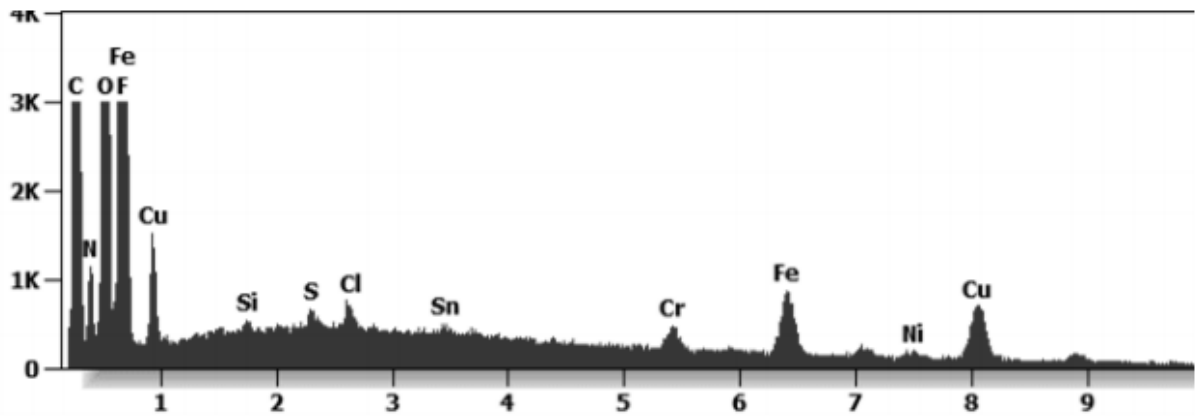


Fig. 10 shows an engineered aggregate of Iron-Chromium-Nickel (stainless steel) nanoparticles embedded identified in an Astrazeneca "vaccine".

La Fig. 10 muestra un agregado diseñado de nanopartículas de hierro-cromo-níquel (acero inoxidable) incrustadas identificadas en una "vacuna" de Astrazeneca.

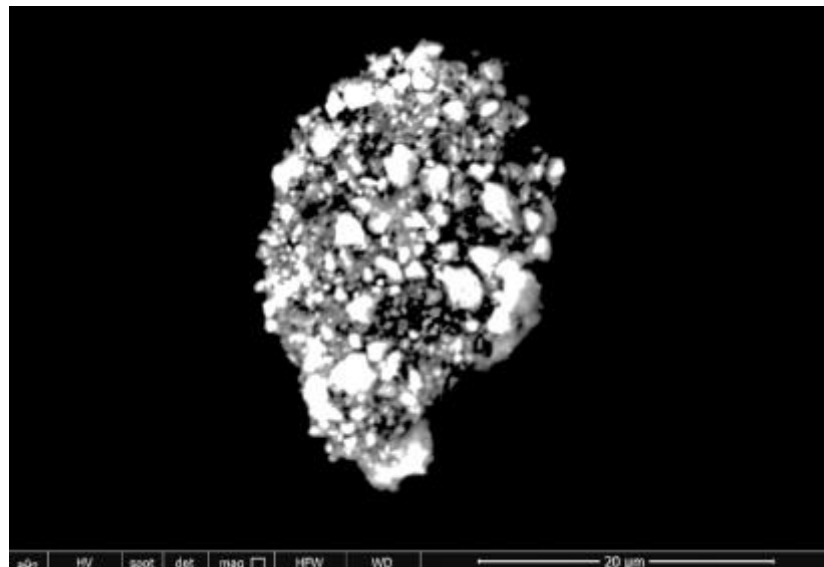


Fig.11 a, b

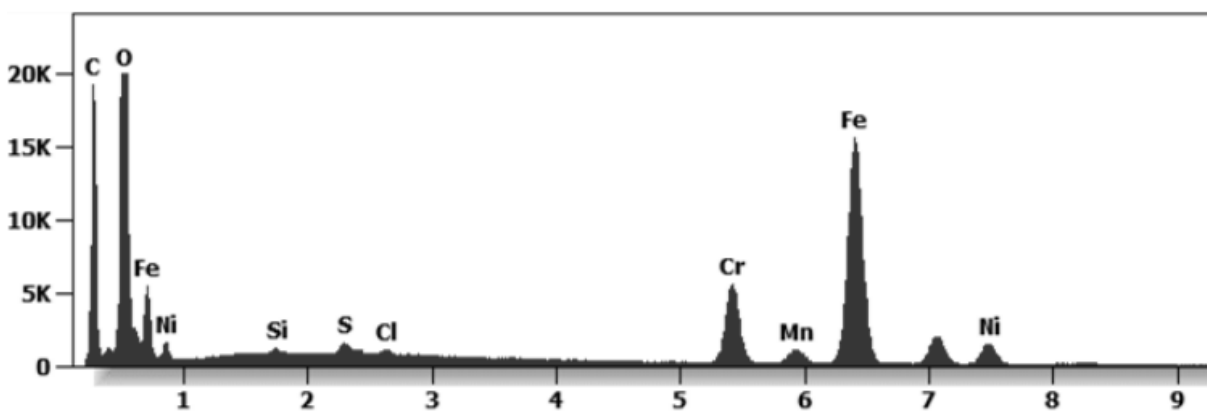


Fig.11 shows an organic-inorganic aggregate identified in a Janssen “vaccine”. The particles are composed of stainless steel and are glued together with a “Carbon-based glue”.

La figura 11 muestra un agregado orgánico-inorgánico identificado en una “vacuna” de Janssen. Las partículas están compuestas de acero inoxidable y se pegan con un “pegamento a base de carbono”.

This aggregate is magnetic and can trigger biological problems inside the blood circulation due to possible interactions with other dipoles.

Este agregado es magnético y puede desencadenar problemas biológicos dentro de la circulación sanguínea debido a posibles interacciones con otros dipolos.

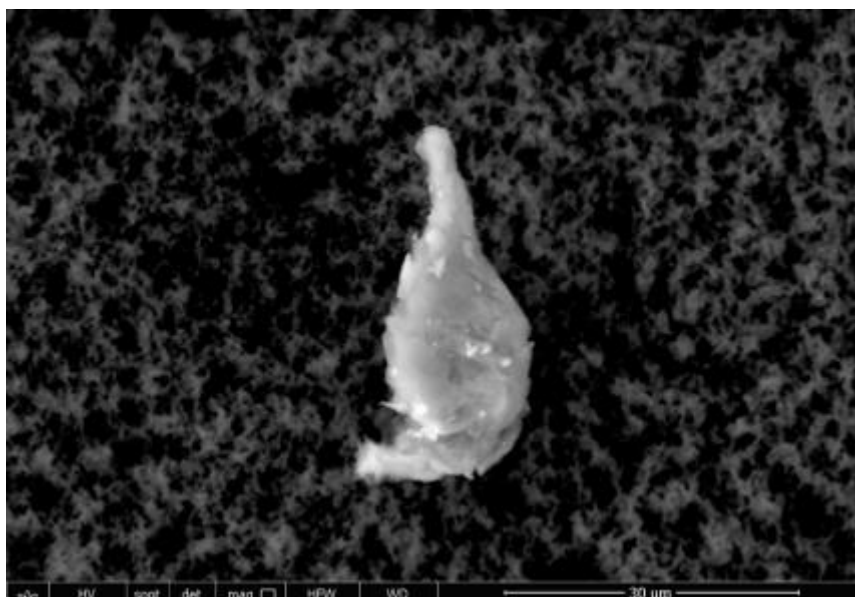


Fig. 12 a, b

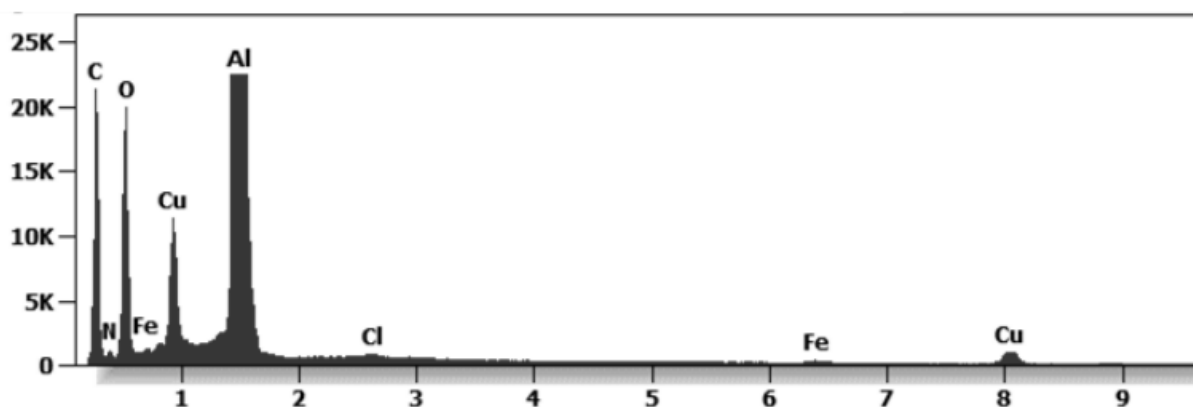


Fig. 12 shows another mixed entity (organic-inorganic) identified in a Moderna “vaccine”. It is a Carbon-based substrate where some nanoparticles are embedded. The nanoparticles are composed of Aluminium-Copper-Iron-Chlorine.

La Fig. 12 muestra otra entidad mixta (orgánico-inorgánico) identificada en una “vacuna” Moderna. Es un sustrato a base de carbono donde se incrustan algunas nanopartículas. Las nanopartículas están compuestas de Aluminio-Cobre-Hierro-Cloro.

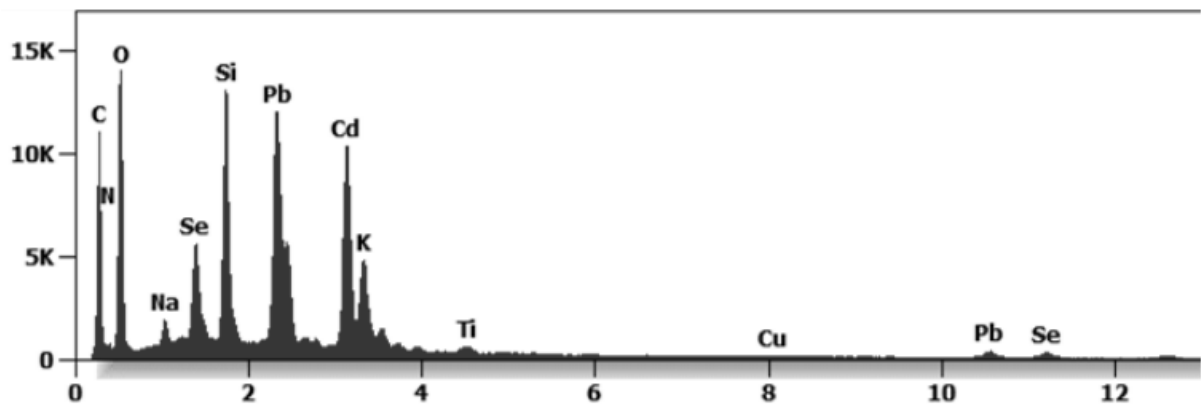
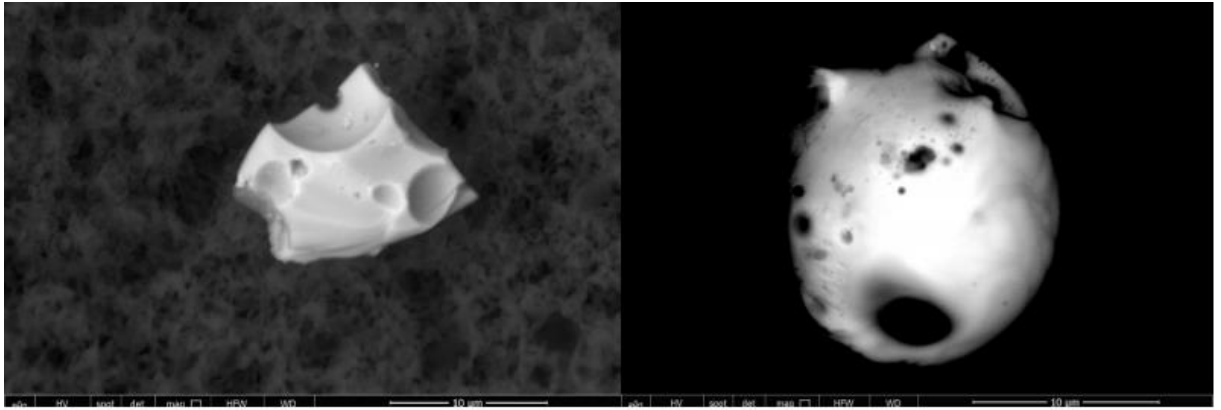


Fig. 13 shows an analysis performed on a Moderna “vaccine”. Many foreign bodies were identified with a spherical morphology with some bubble-shaped cavities. They are composed of SiliconLead-Cadmium-Selenium. This highly-toxic composition reminds that of quantum dots (Cadmium selenide).

La Fig. 13 muestra un análisis realizado en una “vacuna” Moderna. Se identificaron muchos cuerpos extraños con una morfología esférica con algunas cavidades en forma de burbuja. Están compuestos de SiliconLead-Cadmium-Selenium. Esta composición altamente tóxica recuerda la de los puntos cuánticos (seleniuro de cadmio).

Fig. 14 The analysis of a Moderna “vaccine” shows a 100-micron entity that reminds that of graphene. It is composed of Carbon and Oxygen with contamination of Nitrogen, Silicon, Phosphorus, Chlorine.

Fig. 14 El análisis de una “vacuna” Moderna muestra una entidad de 100 micrones que recuerda la del grafeno. Está compuesto de Carbono y Oxígeno con contaminación de Nitrógeno, Silicio, Fósforo, Cloro.

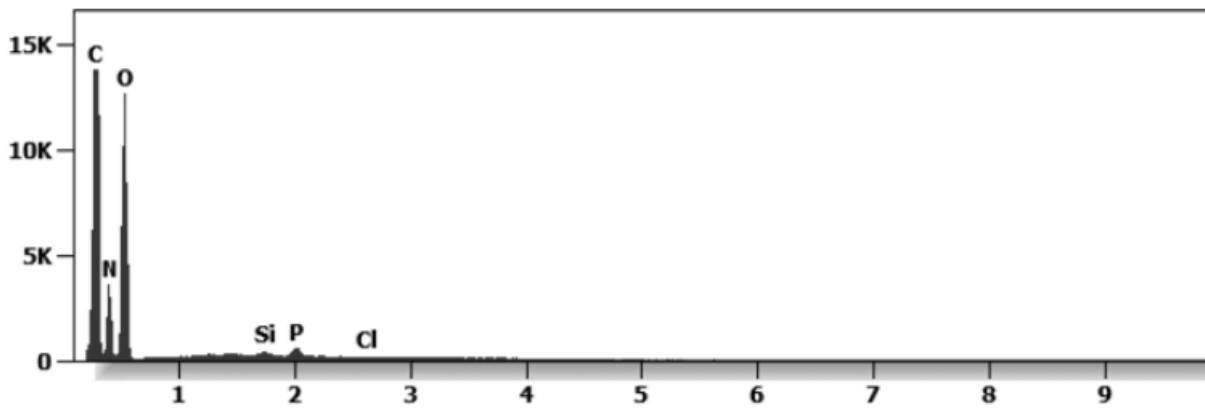
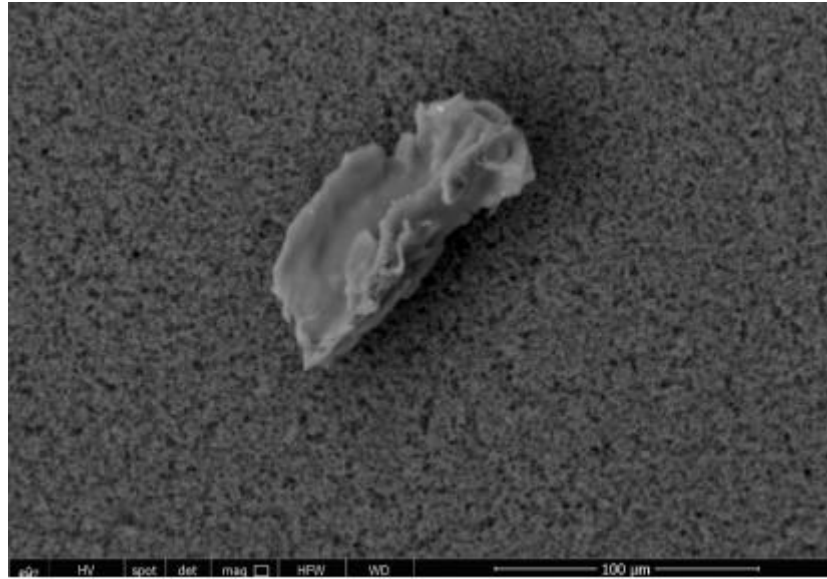
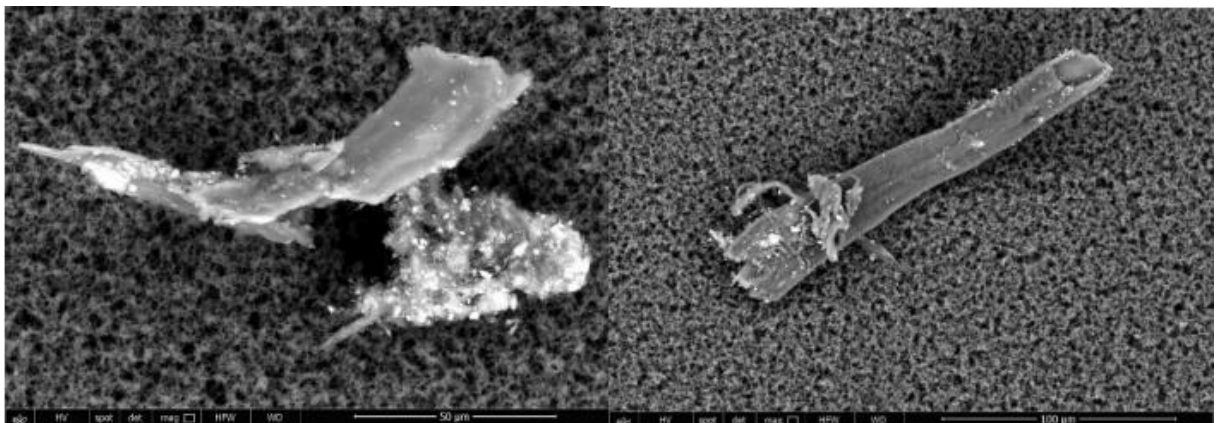


Fig. 14 The analysis of a Moderna “vaccine” shows a 100-micron entity that reminds that of graphene. It is composed of Carbon and Oxygen with contamination of Nitrogen, Silicon, Phosphorus, Chlorine.

Fig. 14 El análisis de una “vacuna” Moderna muestra una entidad de 100 micrones que recuerda la del grafeno. Está compuesto de Carbono y Oxígeno con contaminación de Nitrógeno, Silicio, Fósforo, Cloro.



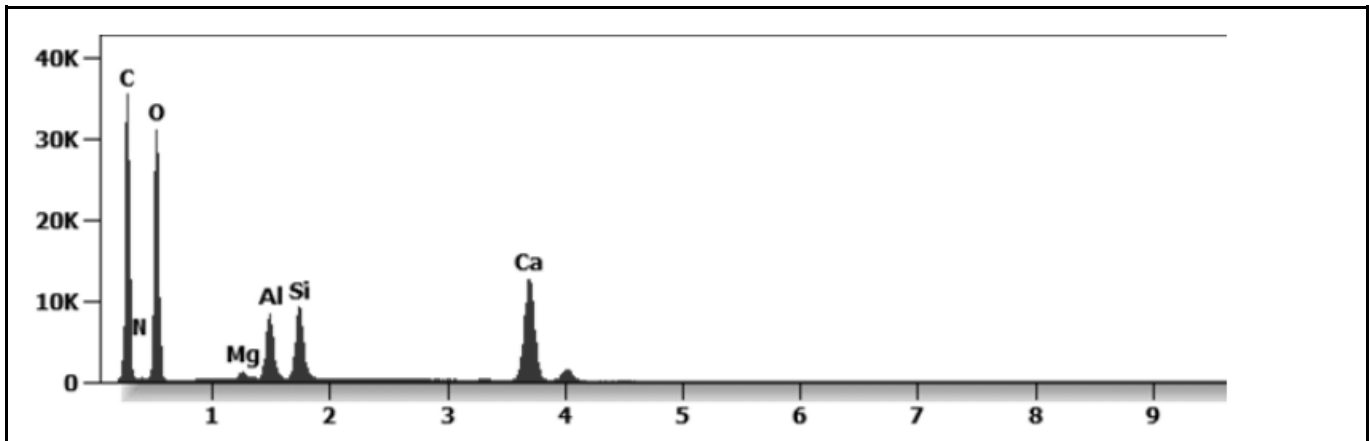


Fig. 15 shows Carbon-based entities in a Moderna “vaccine” mixed with aggregates filled with Aluminium-silicate particles.

La Fig. 15 muestra entidades basadas en carbono en una “vacuna” Moderna mezcladas con agregados llenos de partículas de silicato de aluminio.

Other analyses with an XRF (X-ray fluorescence) instrument reveal the organic part of which the AstraZeneca “vaccine” is composed.

Otros análisis con un instrumento XRF (fluorescencia de rayos X) revelan la parte orgánica de la que se compone la “vacuna” de AstraZeneca.

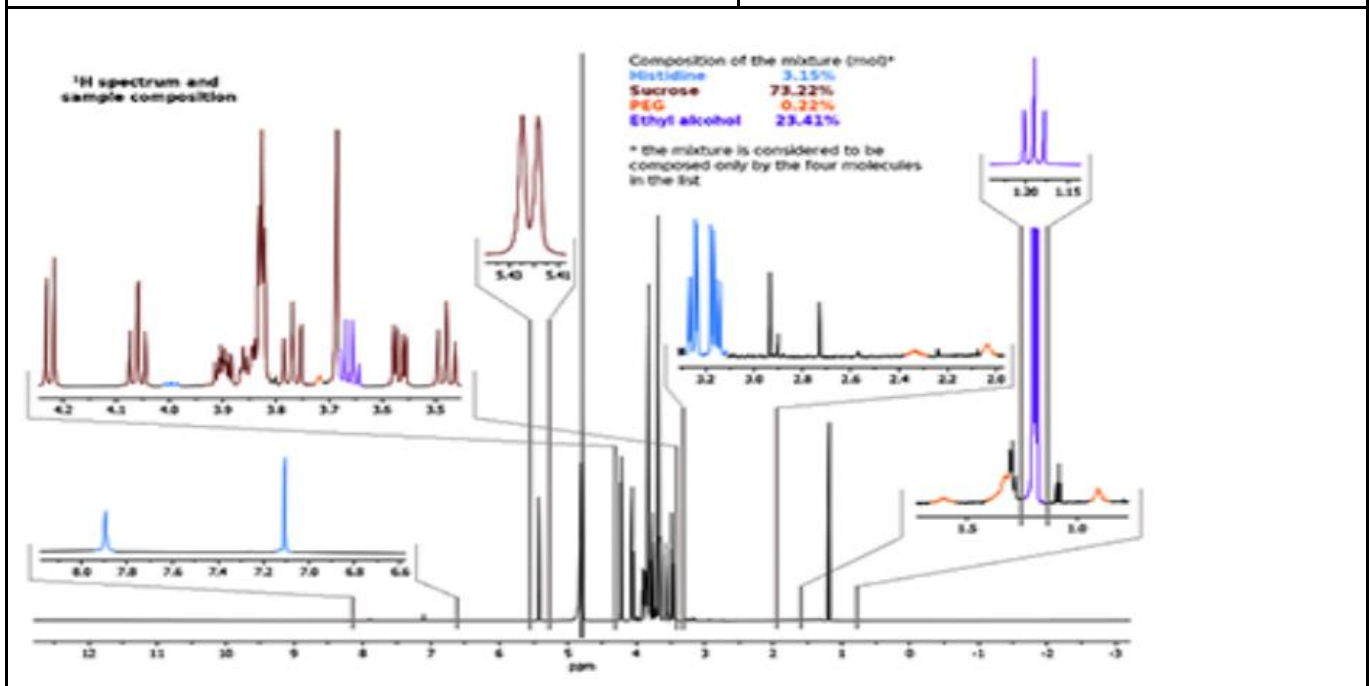


Fig. 16: <sup>1</sup>H spectrum of AstraZeneca vaccine. Different colours are used for the four molecules identified by means of reference spectra. Relative concentration is calculated on integrals of reference signals for molecules in a quantitative spectrum acquired with a duty cycle of 5 seconds because the longest calculated T1 was 5sec.

Fig. 16: Espectro <sup>1</sup>H de la vacuna AstraZeneca. Se utilizan diferentes colores para las cuatro moléculas identificadas mediante espectros de referencia. La concentración relativa se calcula en integrales de señales de referencia para moléculas en un espectro cuantitativo adquirido con un ciclo de trabajo de 5 segundos porque el T1 calculado más largo fue de 5 segundos.

<p>By means of XRF Instrumentation the following molecules were identified: histidine, sucrose, PEG (poly-ethylene glycol) and ethylene alcohol. Only the presence of PEG is declared in the data sheet of this “vaccine”.</p>	<p>Mediante instrumentación XRF se identificaron las siguientes moléculas: histidina, sacarosa, PEG (polietilenglicol) y alcohol etileno. Solo se declara la presencia de PEG en la ficha técnica de esta “vacuna”.</p>
<p><b>Discussion</b></p>	<p><b>Discusión</b></p>
<p>The analyzed “vaccines” present components that are not mentioned in the technical data sheet and whose presence does not seem to have to do with the concept of vaccine. Since they are not included in the documentation presented to the Governmental organizations (FDA, EMA, etc.) for the legal approval aimed at the commercialization and the human use, they seem to be a contamination probably due to the industrial process of manufacturing. It seems that nobody controlled the final product before its distribution. That means that consumers are not informed of the real content of the products. Possible side effects may be due to the injection of those contaminants into the body. It must be observed that the components that are not declared but we identified are not biocompatible and some have also a mechanical impact once they are inside the blood circulation, especially in contact with the vascular endothelium. The entities present in Pfizer and Astrazeneca “vaccines”, identified by the ESEM images, can represent a risk for the human body. They can be responsible of the formation of thrombi, since they are thrombogenic. A further risk is represented by the extravasation of the particles with an ensuing possible haemorrhage. Once in the blood circulation, the particles can be carried also to the brain. In this case the patient can suffer from a stroke, and/or a cerebral haemorrhage. If the damage of the endothelium caused by the particles occurs in the heart, there is a high probability of contracting a myocarditis. In addition to all that, the toxicity of graphene is well-known. The presence of non-biocompatible organic-inorganic foreign bodies in the blood circulation can be responsible of a nano-bio-interaction that can induce severe health problems.</p>	<p>Las “vacunas” analizadas presentan componentes que no se mencionan en la ficha técnica y cuya presencia no parece tener que ver con el concepto de vacuna. Al no estar incluidos en la documentación presentada a los organismos gubernamentales (FDA, EMA, etc.) para la aprobación legal dirigida a la comercialización y el uso humano, parecen ser una contaminación probablemente debida al proceso industrial de fabricación. Parece que nadie controló el producto final antes de su distribución. Eso significa que los consumidores no están informados del contenido real de los productos. Los posibles efectos secundarios pueden deberse a la inyección de esos contaminantes en el cuerpo. Hay que observar que los componentes que no están declarados pero que identificamos no son biocompatibles y algunos también tienen un impacto mecánico una vez que están dentro de la circulación sanguínea, especialmente en contacto con el endotelio vascular. Las entidades presentes en las “vacunas” de Pfizer y Astrazeneca, identificadas por las imágenes de ESEM, pueden representar un riesgo para el cuerpo humano. Pueden ser responsables de la formación de trombos, ya que son trombogénicos. Otro riesgo está representado por la extravasación de las partículas con la consiguiente posible hemorragia. Una vez en la circulación sanguínea, las partículas también pueden ser transportadas al cerebro. En este caso, el paciente puede sufrir un ictus y/o una hemorragia cerebral. Si el daño del endotelio causado por las partículas ocurre en el corazón, existe una alta probabilidad de contraer una miocarditis. Además de todo eso, la toxicidad del grafeno es bien conocida. La presencia de cuerpos extraños orgánico-inorgánicos no biocompatibles en la circulación sanguínea puede ser responsable de una nano-bio-interacción que puede inducir graves problemas de salud.</p>